

# Résolution numérique de l'équation de Laplace

## Objectifs

- ▷ Mettre en œuvre une méthode de résolution numérique pour déterminer une solution à l'équation de Laplace, les conditions aux limites étant données.
- ▷ Représenter des cartes de champ électrostatique et des équipotentielles.

## Matériel sur votre paillasse :

- ▷ Un PC portable avec une distribution Python.

On montre à partir des équations de Maxwell que, en régime stationnaire et dans le vide, le potentiel électrostatique vérifie l'équation de Laplace, c'est-à-dire

$$\Delta V = 0,$$

où  $\Delta$  est l'opérateur laplacien. Cette équation se retrouve dans de nombreux domaines : ainsi, l'équation de la chaleur en régime permanent s'écrit  $\Delta T = 0$ , mais on la rencontre également en gravitation, en mécanique des fluides, en mécanique quantique, pour l'étude des vibrations d'une peau de tambour, etc. Des solutions analytiques existent dans des cas simples, mais dans le cas général, résoudre cette équation demande d'avoir recours à des méthodes numériques : c'est le but de ce TP, avec comme finalité la compréhension de l'effet de pointe et du rôle d'un paratonnerre. Pour que le TP reste raisonnablement abordable dans une séance de deux heures, nous nous limiterons à deux dimensions.

Vous disposez du script Python `tp15_eq-laplace_script-depart.py`, qui contient quelques fonctions qui nous serviront à l'initialisation des calculs et à l'affichage des résultats. Ouvrir ce fichier et l'enregistrer sous un nom différent (pour pouvoir retrouver lesdites fonctions en cas de fausse manœuvre).

## I - Principe de la résolution

### I.1 - Schéma général

Il est évidemment impossible de résoudre numériquement l'équation de Laplace en tout point de l'espace : on se restreint à un domaine  $\mathcal{D}$  fini, discrétisé sous forme d'une grille de dimensions  $N_x \times N_y$ .

On peut démontrer mathématiquement que l'équation de Laplace admet une unique solution dans un domaine fermé  $\mathcal{D}$  si la valeur de  $V$  est fixée sur les bords  $\mathcal{B}$  du domaine. Dans notre cas, les bords correspondent au contour de la grille, mais peuvent aussi inclure d'autres points à l'intérieur de celle-ci sur lesquels le potentiel serait imposé, par exemple les armatures d'un condensateur.

Les conditions aux limites étant fixées, on utilise ensuite une méthode de résolution par différences finies. L'idée est exactement la même que pour résoudre une équation différentielle par la méthode d'Euler : les dérivées spatiales du potentiel sont approximées par des différences entre les valeurs du potentiel entre deux points voisins de la grille.

La nouveauté par rapport à la méthode d'Euler est la résolution itérative : partant d'une « condition initiale » arbitraire (valeur de  $V$  fixée arbitrairement et « aléatoirement » en tout point de la grille), on améliore par récurrence la précision du résultat pour qu'il soit conforme à l'équation de Laplace.

### I.2 - Discrétisation de l'équation de Laplace

On rappelle qu'on se place sur une grille à deux dimensions de taille  $N_x \times N_y$ , schématisée figure 1. Le pas spatial de la grille est noté  $\delta$ , si bien que le point  $(i, j)$  de la grille a pour coordonnées  $(x_i, y_j) = (i\delta, j\delta)$ .

À deux dimensions cartésiennes, le laplacien s'écrit

$$\Delta V = \frac{\partial^2 V}{\partial x^2} + \frac{\partial^2 V}{\partial y^2}.$$

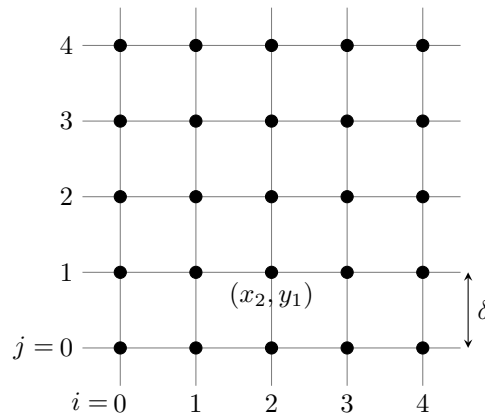


Figure 1 – Grille de discrétisation.

Il faut donc discrétiser la dérivée seconde sous forme de différence finie, ce qui se fait comme toujours grâce à des développements limités. En transposant la formule de Taylor,

$$f(a+h) = f(a) + hf'(a) + \frac{h^2}{2}f''(a) + \mathcal{O}(h^3),$$

on peut écrire

$$V(x_i + \delta, y_j) = V(x_i, y_j) + \delta \frac{\partial V}{\partial x}(x_i, y_j) + \frac{\delta^2}{2} \frac{\partial^2 V}{\partial x^2}(x_i, y_j) + \mathcal{O}(\delta^3)$$

et de même

$$V(x_i - \delta, y_j) = V(x_i, y_j) - \delta \frac{\partial V}{\partial x}(x_i, y_j) + \frac{\delta^2}{2} \frac{\partial^2 V}{\partial x^2}(x_i, y_j) + \mathcal{O}(\delta^3).$$

Le potentiel  $V$  sera stocké dans une variable globale sous forme d'un tableau `numpy`  $V$  tel que  $V[i, j]$  donne la valeur du potentiel  $V(x_i, y_j)$ . Par simplicité de notation, on notera donc dans la suite

$$V[i, j] = V(x_i, y_j)$$

1 - Montrer que

$$\frac{\partial^2 V}{\partial x^2}[i, j] \simeq \frac{V[i+1, j] + V[i-1, j] - 2V[i, j]}{\delta^2}$$

puis que

$$\Delta V[i, j] \simeq \frac{V[i+1, j] + V[i-1, j] + V[i, j+1] + V[i, j-1] - 4V[i, j]}{\delta^2}.$$

Ainsi, l'équation de Laplace discrétisée s'écrit, pour tout point  $(i, j)$  du domaine de résolution,

$$\Delta V[i, j] = \frac{V[i+1, j] + V[i-1, j] + V[i, j+1] + V[i, j-1] - 4V[i, j]}{\delta^2} = 0$$

ce que l'on peut encore mettre sous la forme

$$\boxed{V[i, j] = \frac{V[i+1, j] + V[i-1, j] + V[i, j+1] + V[i, j-1]}{4}} \quad (1)$$

Lorsqu'il vérifie l'équation de Laplace, le potentiel en un point est donc une moyenne des potentiels aux points voisins : c'est ainsi qu'il sera possible de construire par récurrence les valeurs de  $V$  en tout point de la grille en partant des bords où les conditions aux limites sont connues.

### 1.3 - Définition des conditions aux limites

Rappelons que l'on appelle ici « bord » du domaine de résolution l'ensemble des points où la valeur du potentiel est imposée. Pour que la méthode utilisée s'applique, le bord doit nécessairement inclure le contour géométrique de la grille mais peut également inclure d'autres points intérieurs.

Les points appartenant au bord du domaine sont stockés sous forme d'un tableau  $B$ , de taille  $N_x \times N_y$ . Ce tableau est construit de la façon suivante :

▷ si le point  $(i, j)$  appartient au bord, alors  $B[i, j]$  vaut 1 : le potentiel en ce point est imposé, sa valeur ne doit jamais être modifiée ;

▷ si le point  $(i, j)$  n'appartient pas au bord, alors  $B[i, j]$  vaut 0 : le potentiel en ce point est inconnu a priori mais doit vérifier l'équation (1).

Les tableaux décrivant le bord et le potentiel sont initialisés à des zéros.

**2** - Écrire une fonction `initialisation_contour(V0)` qui prend comme argument un flottant  $V_0$ . Cette fonction initialise les points du contour de la grille : elle leur affecte la valeur 1 dans  $B$  et la valeur  $V_0$  dans  $V$  sans toucher aux autres points. Les variables  $B$  et  $V$  étant globales, la fonction les modifie mais ne retourne rien.

Exécuter cette fonction et afficher les bords du domaine grâce à la fonction `graphe_bords` (dans la rubrique des outils graphiques, au début du script fourni), qui affiche en noir les points appartenant au bord du domaine et en blanc les autres (avec un dégradé grisé entre les deux). Choisir par exemple  $N_x = N_y = 50$  pour obtenir un résultat visuel.

## II - Méthode de Jacobi

### II.1 - Principe

La méthode de Jacobi permet une résolution itérative de l'équation (1) : la valeur du potentiel  $V_n[i, j]$  au point  $[i, j]$  à l'itération  $n$  se déduit de la valeur des potentiels voisins à l'itération  $n - 1$  par

$$V_n[i, j] = \frac{V_{n-1}[i+1, j] + V_{n-1}[i-1, j] + V_{n-1}[i, j+1] + V_{n-1}[i, j-1]}{4} \quad (2)$$

Ainsi, la valeur du potentiel en tout point est recalculée à chaque itération en fonction de ce qu'elle aurait dû être si l'itération précédente vérifiait l'équation de Laplace. La convergence de la méthode est démontrable mathématiquement : au bout d'un nombre « suffisant » d'itérations, on est assuré d'approcher de la solution exacte et les nouvelles itérations ne font « presque plus » évoluer le potentiel.

Le nombre d'itérations dépend de la précision souhaitée. Dans ce TP, on utilise un critère basé sur l'écart quadratique moyen

$$e = \sqrt{\frac{1}{N_x N_y} \sum_{i,j} (V_n[i, j] - V_{n-1}[i, j])^2} \quad (3)$$

qui représente l'écart entre la nouvelle et l'ancienne valeur du potentiel moyenné sur toute la grille. On choisit de stopper la simulation lorsque  $e$  devient inférieur à une valeur  $\varepsilon$  définie au début de la simulation, en fonction d'un compromis entre précision des résultats et temps de calcul.

### II.2 - Mise en pratique

L'algorithme de Jacobi est le suivant :

- ▷ **Initialisation :**
  - créer le tableau  $B$  et le remplir avec des 0 et des 1 pour décrire les bords du domaine ;
  - créer le tableau  $V$  et l'initialiser avec les valeurs voulues sur les bords du domaine.
- ▷ **Itérations :** actualiser le tableau  $V$  : pour tout point  $(i, j)$  n'appartenant pas au bord la nouvelle valeur est calculée selon la relation de récurrence (2).
- ▷ **Terminaison :** calculer après chaque itération l'écart  $e$  à la précédente avec l'équation (3), et cesser la procédure lorsque  $e$  devient inférieur à  $\varepsilon$ .

**3** - Écrire une fonction `ecart(V1, V2)` prenant en argument deux tableaux `numpy` et renvoyant l'écart entre ces deux tableaux au sens de l'équation (3).

**4** - Écrire une fonction `iteration_jacobi` qui effectue une itération de l'algorithme ci-dessus. Cette fonction ne prend aucun argument et doit renvoyer l'écart  $e$  entre les potentiels avant et après itération. Rappelons que pour effectuer une copie d'un tableau `numpy` on utilise `V_copie = V.copy()` mais pas `V_copie = V`, sans quoi les deux sont liés et toute modification de  $V$  entraînerait une modification de `V_copie`.

**5** - Écrire une fonction `jacobi(eps)` qui prend en argument un flottant `eps` et qui itère l'algorithme tant que l'écart est supérieur à `eps`. À des fins de comparaison avec la méthode suivante, votre fonction doit renvoyer le nombre d'itérations. Pour suivre la convergence en temps réel, on pourra ajouter un `print(e)` à un endroit bien choisi.

## II.3 - Application au condensateur plan de taille fini

**6** - Représenter les surfaces équipotentielles d'un condensateur plan de taille finie, en procédant de la façon suivante :

- ▷ Choisir une grille de taille  $60 \times 60$  et créer les tableaux **B** et **V** dont toutes les valeurs sont nulles.
- ▷ Initialiser le contour de la grille à un potentiel nul, et ajouter avec la fonction `initialisation_condensateur` un condensateur plan dont les armatures sont respectivement aux potentiels  $\pm 10$  V.
- ▷ Résoudre l'équation de Laplace par la méthode de Jacobi en choisissant comme critère de terminaison  $\varepsilon = 1 \cdot 10^{-3}$ .
- ▷ Afficher les surfaces équipotentielles avec la fonction `graphe_equipot`.

**7** - Commenter le résultat obtenu, évidemment en lien avec ce que vous connaissez des équipotentielles d'un condensateur infini.

## III - Méthode de Gauss-Seidel adaptative

On peut montrer que que la complexité de la méthode de Jacobi pour une grille de taille  $N \times N$  est pire que  $\mathcal{O}(N^3)$ , ce qui est néfaste pour les temps de calcul et devient rapidement gênant, y compris pour les exemples simples que nous étudierons en fin de TP. La méthode de Gauss-Seidel adaptative est une amélioration possible, mais moins aisément compréhensible.

### III.1 - Principe

La méthode consiste essentiellement à remplacer la relation de récurrence (2) par

$$V_n[i, j] = (1 - w)V_{n-1}[i, j] + w \times \frac{V_{n-1}[i + 1, j] + V_n[i - 1, j] + V_{n-1}[i, j + 1] + V_n[i, j - 1]}{4}. \quad (4)$$

Il y a donc deux différences majeures par rapport à l'algorithme précédent.

D'une part, on utilise la valeur  $V_{n-1}[i, j]$  de  $V$  au point  $(i, j)$  à l'itération précédente, pondérée avec un facteur  $w$ . On peut montrer que pour une grille carrée de taille  $N \times N$  il existe une valeur optimale

$$w_{\text{opt}} = \frac{2}{1 + \frac{\pi}{N}}.$$

D'autre part, le calcul fait intervenir les valeurs du potentiel aux points voisins à l'itération précédente  $n - 1$  comme c'était déjà le cas, mais aussi certaines valeurs à l'itération  $n$  elle-même. Ceci est rendu possible par le fait que la grille est parcourue à  $i$  et  $j$  croissants, ces valeurs ont donc déjà été actualisées lors de l'itération  $n$  : on comprend ainsi que cela améliore la vitesse de convergence. En pratique, il ne faut plus utiliser un tableau copie mais directement itérer  $V$  avec l'équation (4).

**8** - Écrire les fonctions `iteration_gauss_seidel` et `gauss_seidel` qui jouent un rôle analogue aux fonctions du même nom écrites pour la méthode de Jacobi.

**9** - Tester ces fonctions sur l'exemple précédent du condensateur. Vérifier que le nombre d'itérations est inférieur. Pour que la comparaison ait un sens, penser à réinitialiser la matrice  $V$  entre les deux simulations.

### III.2 - Application à l'effet de pointe

#### a) Mise en contexte

En l'absence de perturbations, le potentiel électrostatique augmente quasi-linéaire dans l'atmosphère entre le sol (qui est à un potentiel  $V_{\text{sol}}$  que l'on prendra égal à 0 V) et l'ionosphère. Dans une atmosphère non perturbée, par temps calme, le gradient de potentiel est de  $100 \text{ V} \cdot \text{m}^{-1}$  environ.

L'ajout d'une tige verticale conductrice, un paratonnerre par exemple, vient perturber cette situation : ses propriétés conductrices font qu'elle est au même potentiel en tout point, égal à celui du sol auquel elle est reliée. Ceci va déformer les surfaces équipotentielles, et donc modifier le champ électrique. On s'attend à ce que ce dernier augmente vers la pointe : c'est ce que l'on nomme l'effet de pointe, et qui explique que la foudre tombe préférentiellement sur les objets pointus.

On simule ici une tige verticale de hauteur  $H$  et de largeur  $D$ , dont la pointe est une demi-sphère de diamètre  $D$ , voir figure 2. Plus précisément, notre programme étant bidimensionnel, nous simulons en fait un plan de hauteur  $H$ , épaisseur  $D$ , de longueur très grande dans la direction perpendiculaire au plan de la simulation. Les temps de calculs seraient trop grands à 3D sur les ordinateurs du lycée.

L'objectif est d'obtenir numériquement une relation entre la valeur  $E_{\text{max}}$  du champ électrique et le diamètre  $D$  de la pointe de la tige.

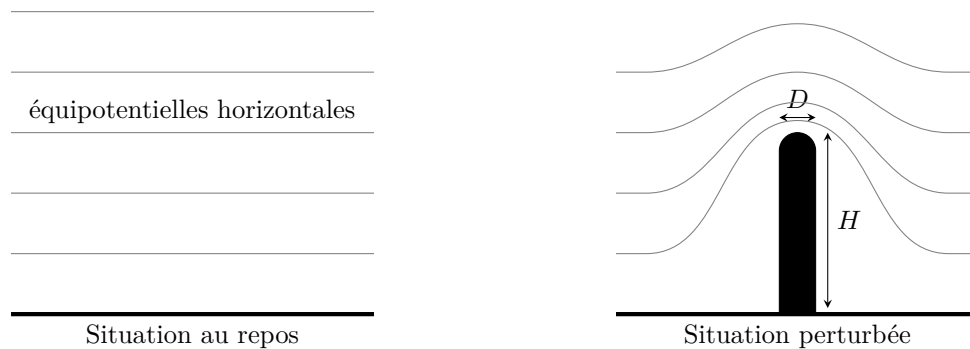


Figure 2 – Allure qualitative des équipotentiels en présence d'une pointe.

### b) Calcul du potentiel

La fonction `initialisation_effet_pointe(Vmin, Vmax, h, d)` fournie dans le script de départ permet d'initialiser un domaine avec

- ▷ un contour dont le bord bas est au potentiel  $V_{\min}$ , le bord haut au potentiel  $V_{\max}$  et où le potentiel augmente linéairement de  $V_{\min}$  à  $V_{\max}$  sur les bords droit et gauche ;
- ▷ une tige de hauteur  $h$  et épaisseur  $d$  (en nombre de points), au potentiel fixé  $V_{\min}$ .

⚠ ⚠ ⚠ **Attention !** Le nombre  $d$  doit être impair.

On raisonnera sur un pas de grille  $\delta = 3$  cm, et on prendra

- ▷  $h = 50$  et  $d = 13$ , ce qui correspond à une tige de hauteur  $H = 1,5$  m et de largeur  $D = d \times \delta = 30$  cm ;
- ▷ un domaine de taille  $120 \times 120$  points, ce qui correspond à  $3,6 \times 3,6$  m ;
- ▷ un potentiel  $V_{\min} = 0$  V au niveau du sol et  $V_{\max} = N_x \times \delta \times 100$  V en haut du cadre, ce qui donne bien un gradient au repos de  $100 \text{ V} \cdot \text{m}^{-1}$ .

**10** - Initialiser le problème à l'aide de cette fonction. Visualiser si tout est correct à l'aide de `graphe_bords`.

**11** - Utiliser ensuite l'algorithme de Gauss-Seidel pour obtenir le potentiel. On prendra encore  $\varepsilon = 10^{-3}$ . Visualiser la solution à l'aide de `graphe equipot`.

### c) Calcul du champ électrique

**12** - Sur les équipotentiels précédentes, identifier la zone où le champ est le plus intense.

Pour calculer le champ électrique, on évaluera les dérivées premières par des relations du type

$$\frac{\partial V}{\partial x}(x_i, y_j) = \frac{V(x_i + \delta, y_j) - V(x_i - \delta, y_j)}{2\delta}$$

qui donne une précision sur la dérivée en  $\mathcal{O}(\delta^2)$ , d'un ordre meilleure que celle du schéma d'Euler habituel.

**13** - Écrire une fonction `calcul_champ(delta)` qui prend comme argument le pas de la grille et renvoie un tableau `norme_E` de taille  $N_x \times N_y$  qui contient la norme du champ électrique. On ne cherchera pas à calculer le champ sur les bords du domaine.

**14** - Appliquer cette fonction dans le cas précédent : par combien la présence de l'obstacle multiplie-t-elle le champ ?

**15** - Reproduire la procédure pour quelques valeurs de  $d$  (p.ex. 7, 13, 17, 23) et représenter le maximum de la norme de  $\vec{E}$  en fonction de  $d$ . Ceci va-t-il dans le sens de l'effet de pointe mentionné précédemment ?